

крайней мере в области оптических частот. Этот вывод вполне согласуется с многочисленными данными о доминирующей роли слоев  $\text{CuO}$  в механизме проводимости у всех известных высокотемпературных сверхпроводников.

Авторы выражают благодарность С.Г. Конникову и В.В. Третьякову за проведение зондового микронализа полученных кристаллов.

### Л и т е р а т у р а

- [1] Maeda H. et al. - Jpn. J. Appl. Phys., 1988, v. 27, No 2, p. L209.
- [2] Ue J.Z., Grabtree G.W. et al. - Phys Letters A, v. 127, No 8, 9, 1988, p. 444.
- [3] Chippendale A.M. et al. - Physica, 1988, v. 152, p. 194.
- [4] Tahayama-Miromachi E. et al. - Jpn. J. Appl. Phys., 1988, v. 27, No 3, p. L365.
- [5] Matsui Y. et al. - Jpn. J. Appl. Phys., 1988, v. 27, No 3, p. L372.
- [6] Петров М.П. и др. - Письма в ЖТФ, 1988, т. 14, вып. 8, с. 748.
- [7] Takagi H. et al. - Nature, 1988, v. 332, No 3, p. 236.

Поступило в Редакцию  
18 июля 1988 г.

Письма в ЖТФ, том 14, вып. 22                    26 ноября 1988 г.

### БИСТАБИЛЬНОЕ УСТРОЙСТВО НА ОСНОВЕ ЭЛЕКТРИЧЕСКИ УПРАВЛЯЕМОЙ ДИФРАКЦИОННОЙ РЕШЕТКИ

В.Н. Жлобич, А.С. Рубанов,  
И.В. Сташкевич, А.В. Чалей

В настоящее время проявляется значительный интерес к разработке и исследованию оптических и гибридных бистабильных устройств с использованием нелинейных явлений, и, в частности, на основе нелинейного интерферометра Фабри-Перо [1], эффекта Покельса [2] и твист-эффекта в жидкких кристаллах(ЖК) [3] для решения задач оптической обработки информации.

В данной работе рассматривается новый тип гибридного бистабильного устройства, функциональным элементом которого является управляющая ячейка на основе системы „рельефная решетка – нематический ЖК“. Схема бистабильного устройства представлена на рис. 1. Управляющая ячейка 1 с диафрагмой 2 является модулятором оптического сигнала. Полупрозрачное зеркало 3, фотодиод 4 и усилитель-преобразователь 5 образуют цепь положительной обратной связи. На вход усилителя кроме сигнала с фотодиода

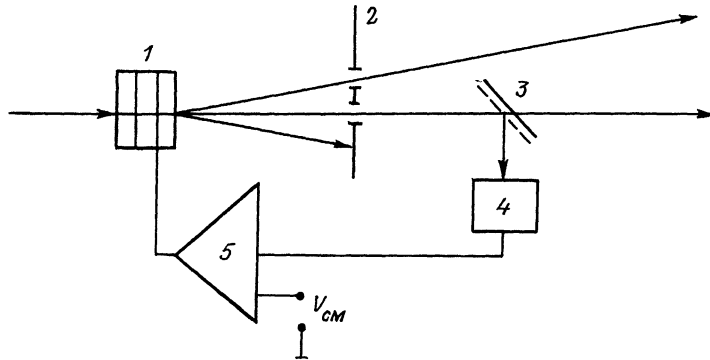


Рис. 1. Схема бистабильного устройства. 1 – управляющая ячейка, 2 – диафрагма, 3 – полупрозрачное зеркало, 4 – фотодиод, 5 – усилитель–преобразователь.

подается напряжение смещения. Управляющая ячейка 4 представляет собой слой нематического жидкого кристалла (ЖК-807, показатель преломления  $n_{\perp} = 1.5$ ;  $n_{\parallel} = 1.68$ ), заключенный между двумя стеклянными пластинками с прозрачными электродами, который находится в непосредственном контакте с рельефной решеткой. Решетка, изготовленная из поливинилового спирта с показателем преломления  $n_p = 1.5$ , имела асимметричный пилообразный профиль.

При начальной ориентации директора ЖК параллельно штрихам решетки интенсивность дифракции для необыкновенной волны нелинейно изменяется в зависимости от величины приложенного напряжения. В случае полной переориентации ЖК при напряжении на электродах 40 В дифракция отсутствует (т.к.  $n_p = n_{\text{ЖК}}$ ). Времена переключения, определяемые инерционностью жидкокристаллического материала, составляли в эксперименте 50–100 мс.

Нелинейный характер зависимости дифракционной эффективности от напряжения позволяет реализовать устройство с двумя устойчивыми состояниями. Выделяя с помощью диафрагмы нулевой и первый порядок дифракции и организуя обратную связь с помощью нулевого и первого порядка, получаем бистабильное устройство с двумя выходами. Один из них прямой, другой инвертированный. На рис. 2, а представлена гистерезисная зависимость интенсивности излучения гелий – неонового лазера ( $\lambda = 0.63 \text{ мкм}$ ) на прямом (нулевой порядок) и инвертированном (первый порядок) выходах устройства от входной интенсивности. Отношение интенсивностей в двух состояниях (контраст) на прямом выходе составляло 18:1, на инвертированном 40:1.

Максимальный контраст на выходе системы достигается при линейной поляризации падающего излучения, параллельной штрихам решетки. Изменение угла между плоскостью поляризации и оптичес-

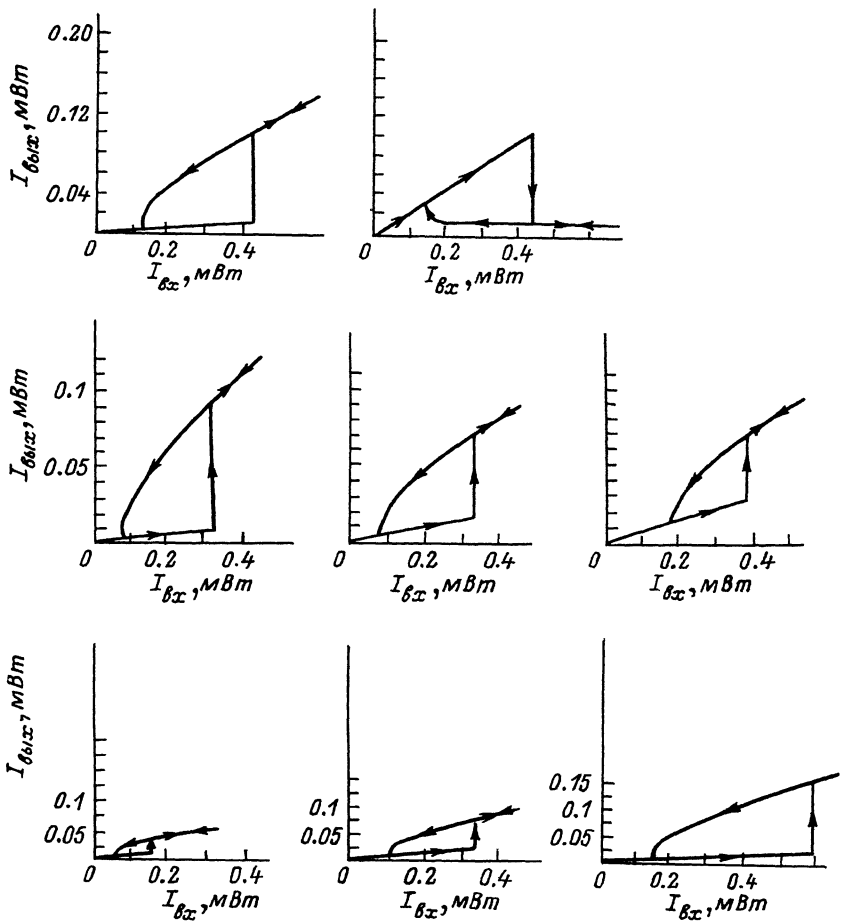


Рис. 2. Гистерезисная зависимость интенсивности на выходе от входного сигнала. а) плоскость поляризации параллельна штрихам решетки: 1 - на прямом выходе, 2 - на инвертированном выходе; б) при угле между плоскостью поляризации излучения и направлением штрихов решетки: 1 -  $10^\circ$ , 2 -  $20^\circ$ , 3 -  $30^\circ$ ; в) при напряжении смещения: 1 -  $-0.8V$ , 2 -  $+0.4V$ , 3 -  $+1.6 V$ .

кой осью анизотропной среды приводит к уменьшению контраста на прямом выходе (рис. 2, б). Так увеличение этого угла от  $10^\circ$  до  $30^\circ$  соответствовало изменению контраста от  $10:1$  до  $2.5:1$ . При этом на инвертированном выходе контраст не зависел от ориентации плоскости поляризации, однако интенсивность излучения на выходе падала, так как в первый порядок дифрагирует только необыкновенная волна ( $n_\perp = n_p$ ).

Шириной и положением петли гистерезиса можно управлять, изменяя коэффициент обратной связи и подавая напряжение смещения на вход усилителя. Рис. 2, в иллюстрирует изменение ширины петли гистерезиса при увеличении напряжения смещения от -0.8 до +1.6 В.

Рассмотренное гибридное бистабильное устройство может работать в широком диапазоне интенсивностей излучения, имеет как прямой, так и инвертированный выходы и позволяет управлять уровнем переключающих сигналов.

## Л и т е р а т у р а

- [1] L u i g i A. L u g a t o . - Contemp. Phys., 1983, v. 24, N 4, p. 333-371.
- [2] O k a d a M. - Optics Comm., 1979, v. 28, N 3, p. 300-302.
- [3] H o n g-J u n Z., J i a n-H u a D., J u n-H u i Y., and C u n-H i u G. - Optics Comm., 1981, v. 38, N 1, p. 21-25.
- [4] Р у б а н о в А.С., С т а ш к е в и ч И.В., Ч а л е й А.В., Л а в р и н е н к о А.В. - Препринт № 495 ИФ АН БССР, Минск, 1988, 28 с.

Поступило в Редакцию  
20 июня 1988 г.

Письма в ЖТФ, том 14, вып. 22

26 ноября 1988 г.

## НОВЫЙ СПОСОБ ПОЛУЧЕНИЯ ФОТОЧУВСТВИТЕЛЬНЫХ БАРЬЕРОВ НА ОСНОВЕ СЛОИСТЫХ ПОЛУПРОВОДНИКОВ *InSe* И *GaSe*

М.В. Т о в а�ни ц к и й, В.К. Л у къ я н ю к,  
З.Д. К о в а л ю к, В.И. В и т к о в с к а я,  
С.Я. Г о л у б

Одним из направлений прикладных изысканий применительно к *InSe* и *GaSe* является создание на их основе фоточувствительных структур - барьера Шотки [1] и гетеропереходов [2]. Для получения последних используются методы кристаллизации аморфных пленок на поверхности слоистого кристалла облучением мощным импульсным лазером [2], посадки на оптический контакт *InSe* и *GaSe* или создания структуры окисел-тонкий диэлектрик-*GaSe* путем термического окисления на воздухе подложки селенида галлия и последующего наращивания фронтального полупроводника *In<sub>2</sub>O<sub>3</sub>:Sn* [3]. В настоящей работе предложен новый способ создания фоточувствительных барьераов на основе *InSe* и *GaSe* и приведены некоторые фотоэлектрические характеристики полученных структур.